

摂動論的QCDとその展開

—これまでの研究と今後の課題—

植松恒夫 (京大理/MISC)

@京都産業大学益川塾

April 23, 2011



Plan of the talk

1. はじめに
2. 深非弾性過程と摂動論的QCD
3. 摂動論的QCDの高次効果
4. その他
5. 今後の課題

1. はじめに

今、なぜ摂動論的QCDか？

- LHCでHiggsを発見して、標準模型を確立するにはHiggs生成の強い相互作用効果の正確な評価とクォーク・グルーオンの分布関数PDFsの精密化が必要→ **QCDの重要性の復活**
- 将来のLinear Collider (ILC)でも、精度の高い計算が標準模型や超対称性の検証・探索に必要
- 摂動計算は最近の研究の進展によって、NNLO QCDオーダーが計算可能となった

これまでの研究

➤ 摂動論的QCD

- パarton分布・崩壊関数の Q^2 依存性
- 深非弾性散乱の構造関数の高次補正
- 偏極深非弾性散乱と高次ツイスト効果
- 軸性量子異常と光子構造関数のQCD則
- 標的および重クォーク質量効果

➤ 超対称性 → 次回

- SUSYの破れと非線形実現
- 2及び3次元超重重力理論 (tensor calculus)
- $N=4$ 超共形代数 (chiral superspace)
- $N=2$ サイン・ゴールドン理論 (保存則, S行列)

2. 深非弾性過程と摂動論的QCD

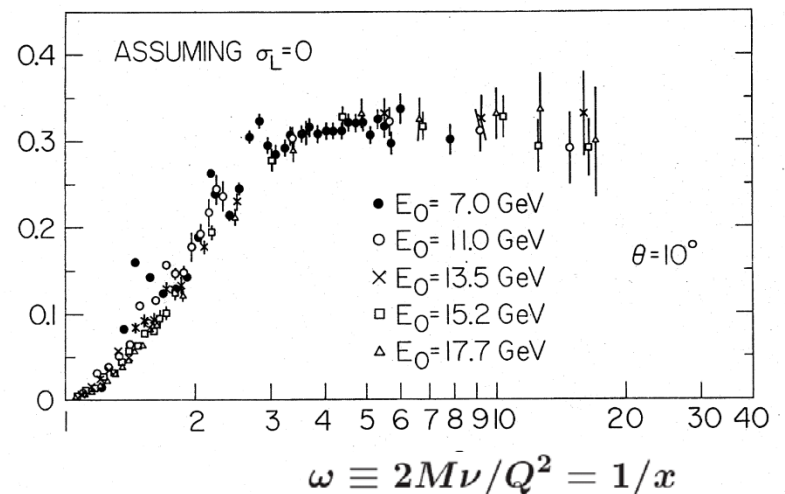
- 核子の構造の研究 (60年代) deep inelastic scattering
- Current Algebra \longrightarrow Bjorken scaling 1968
- SLAC-MIT experiment

$$\nu W_2(\nu, Q^2) \Rightarrow F_2(x) \quad x = \frac{Q^2}{2M\nu}$$

Parton分布関数

$$q(x), \bar{q}(x) \quad (0 \leq x \leq 1)$$

$$F_2(x) = \sum_i e_i^2 x (q(x) + \bar{q}(x))$$

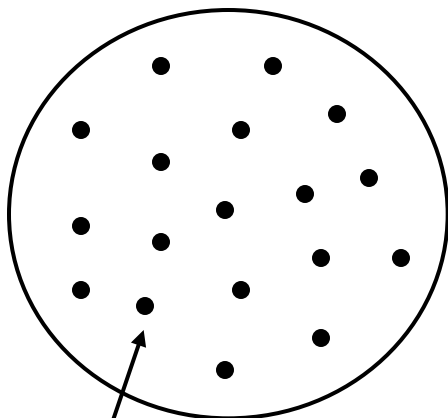


L.W.Mo SLAC-PUB-660 (1969)

Parton Model Feynman, Bjorken-Paschos

パートン画像

核子など
ハドロン



点状構成要素

Parton

(Feynman, ...)

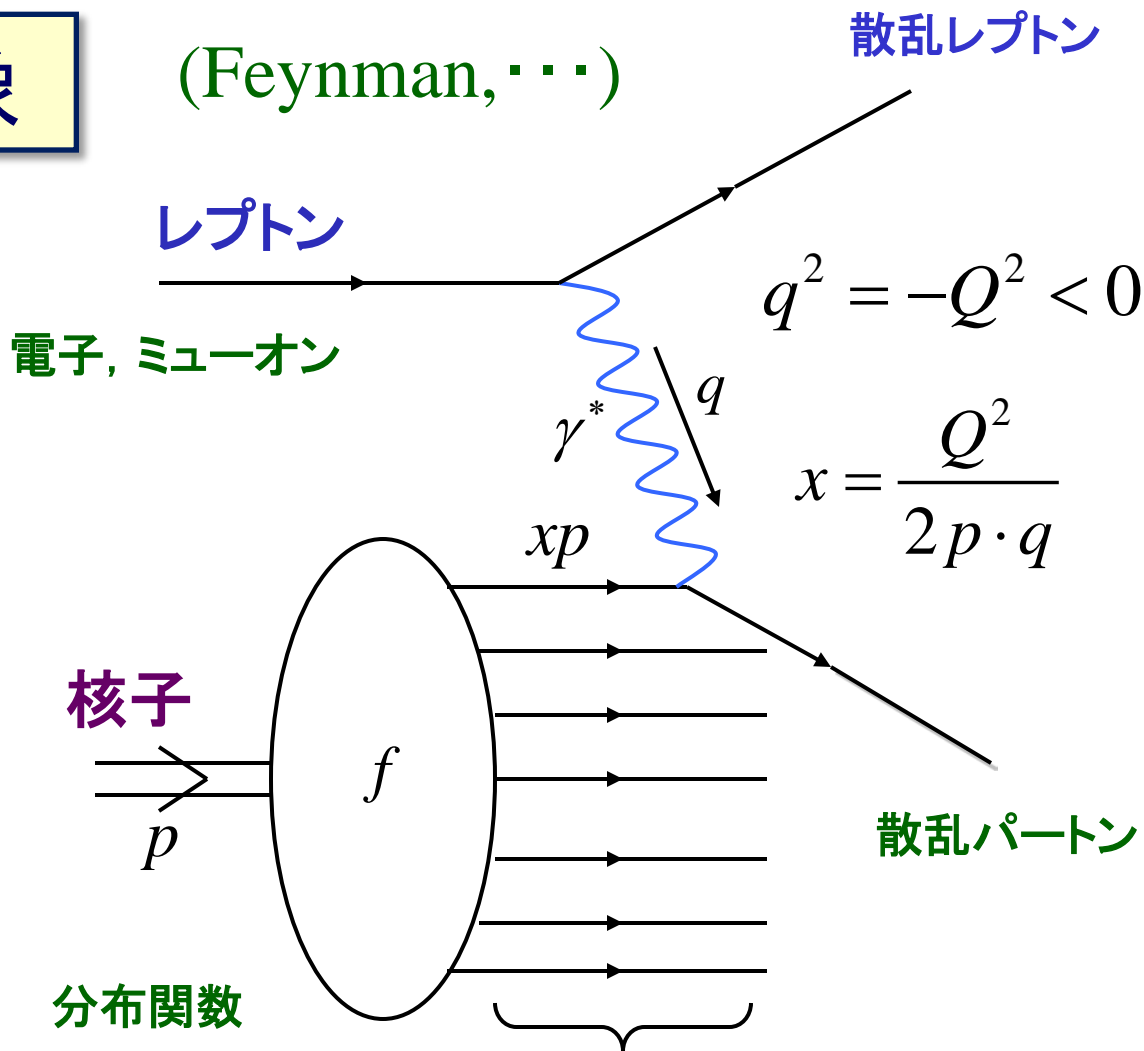
レプトン
電子, ミューオン

散乱レプトン

核子

分布関数

$f(x)$ ($0 < x < 1$) 自由なパートンの集まり



Scalingの破れ

- Broken scaling inv. くりこみ群 ϵ -展開

- Critical phenomena (物理量) $\underset{t \rightarrow t_c}{\sim} (t - t_c)^{-\nu}$

Kogut-Susskind

- スケーリングの破れ

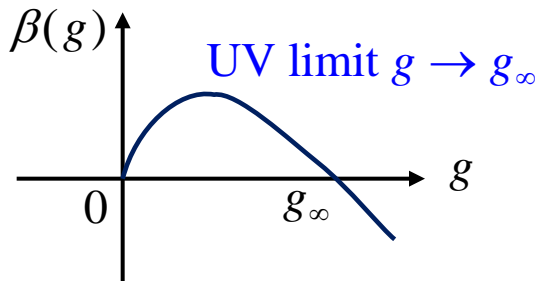
Scale-inv. Parton Model

- 場の理論でのくりこみ群的解析

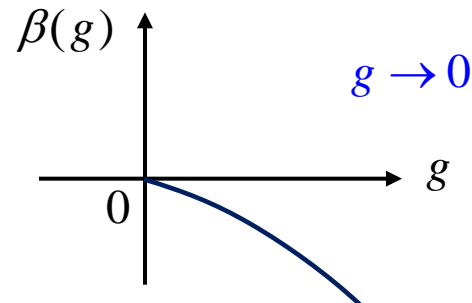
$$M_n(Q^2) \equiv \int_0^1 dx x^{n-2} F_2(x, Q^2) \\ \sim (Q^2/Q_0^2)^{-\frac{1}{2}\gamma_n(g_\infty)}$$

{ fixed point theory **power breaking** anomalous dim. $\gamma(g_\infty)$
 { asymptotically free theory **logarithmic breaking**

$$\sim (\ln Q^2/Q_0^2)^{-\gamma_n/2\beta_0}$$



fixed point theory



asymptotically free theory

QCDの登場(1973)

Color gauge theory (Color octet gluon) Nambu 1966

QCD

Fritzsch-Gell-Mann-Leutwyler 1973

Weinberg 1973

Asymptotic freedom

Gross-Wilczek, Politzer, 't Hooft 1973

- short distance ... 漸近的自由
- long distance ... 閉じ込め

QCD Lagrangian

g : coupling const.

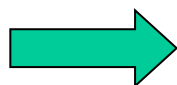
$$\mathcal{L} = -\frac{1}{4} F_{\mu\nu}^a F^{a,\mu\nu} + i \sum_q \bar{\psi}_q^i \gamma^\mu (D_\mu)_{ij} \psi_q^j - \sum_q m_q \bar{\psi}_q^i \psi_{qi}$$

$$F_{\mu\nu}^a = \partial_\mu A_\nu^a - \partial_\nu A_\mu^a + g f_{abc} A_\mu^b A_\nu^c$$

$$(D_\mu)_{ij} = \delta_{ij} - ig \sum_a (\lambda^a / 2)_{ij} A_\mu^a$$

No free parameter

except for m_q



第一原理から出発して摂動論で計算を遂行

Effective coupling constant

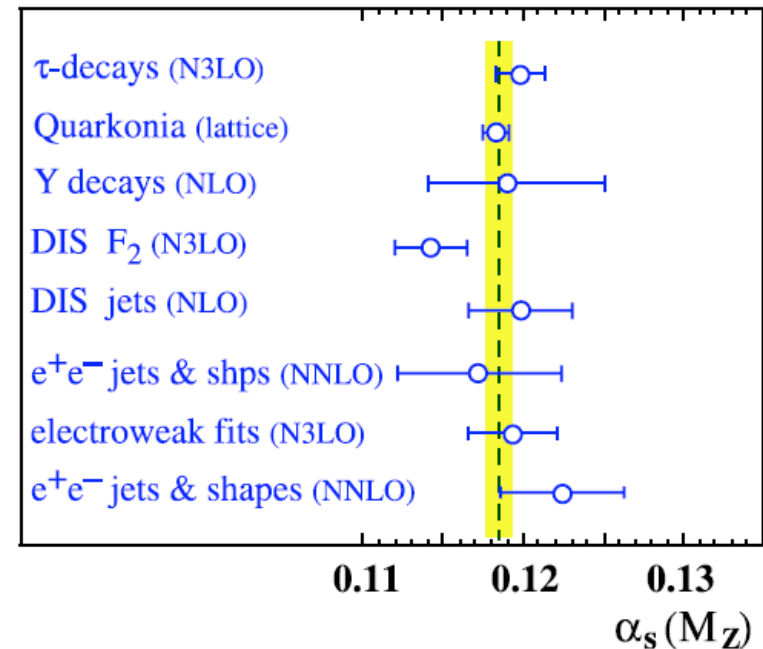
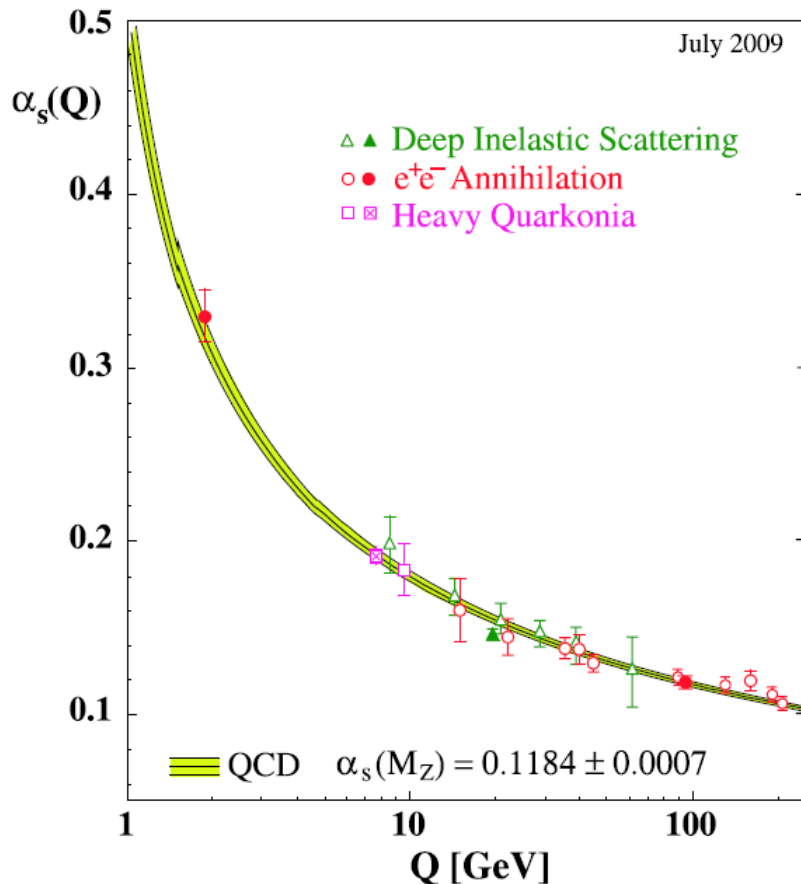
Fundamental constant of QCD

$$\Lambda_{\text{QCD}} = \mu e^{-\int \frac{dg}{\beta(g)}}$$

“dimensional transmutation”

$$\alpha_s(\mu^2) = \frac{4\pi}{\beta_0 \ln(\mu^2/\Lambda^2)} \times \left[1 - \frac{\beta_1}{\beta_0^2} \frac{\ln[\ln(\mu^2/\Lambda^2)]}{\ln(\mu^2/\Lambda^2)} + \dots \right] \alpha_s(\mu_0^2) \quad \mu_0 = M_Z$$

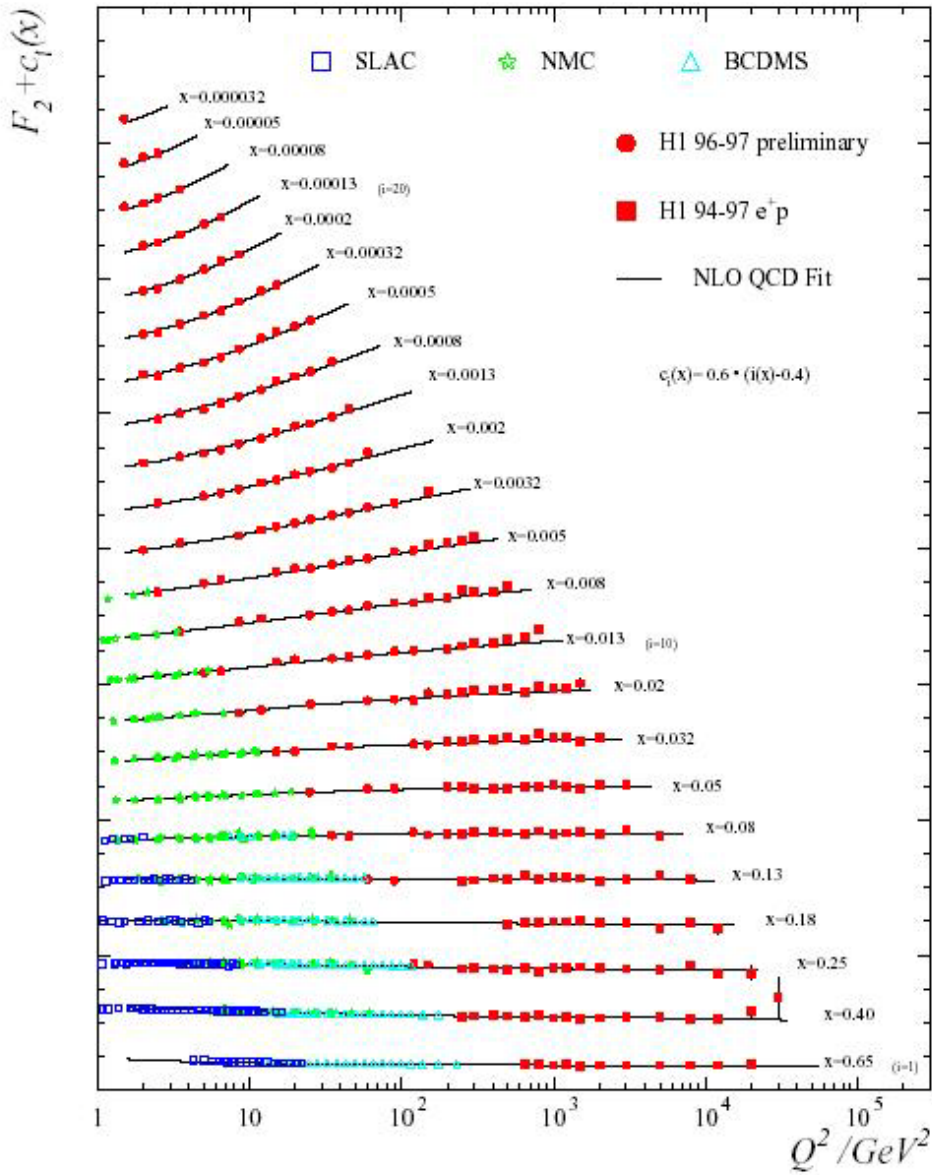
$$\alpha_s(M_Z)$$



$$\alpha_s(M_{Z^0}) = 0.1184 \pm 0.0007$$

S. Bethke

Eur. Phys. J. C (2009) 64: 689–703



構造関数 F_2 の Q^2 発展

Leading Order (LO) analysis

- OPE+RG analysis of structure function
Gross-Wilczek, Politzer,...
- DGLAP evolution equation for PDFs
Dokshitzer-Diakonov-Troyan,
Gribov-Lipatov, Altarelli-Parisi,...
- Q^2 dep. of fragmentation fn.
Georgi-Politzer, Owens, T.U.,...
- Polarized structure functions
Ahmed-Ross, Sasaki

因子化 (Factorization)

$\sigma \sim$ (短距離の物理) \otimes (長距離の物理)
 物理量 摂動論 convolution 非摂動論
 short distance long distance

演算子積展開(OPE)

K. Wilson, ...

$J_\mu(x) J_\nu(0) \sim \sum_n C_n(x) O_n(0)$
 電磁カレント 係数関数 スピン n の演算子

$$\int d^4x e^{iqx} \langle p | J_\mu(x) J_\nu(0) | p \rangle \sim \sum_{n,i} \tilde{C}_n(q^2) \langle p | O_n^i(0) | p \rangle$$

Factorization & PDFs

構造関数

$$F \sim f \otimes C = \tilde{f} \otimes \tilde{C}$$

PDF (Q^2 dep)

scheme-依存性

Q^2 依存性 \longrightarrow DGLAP eq. or OPE+RGE

Q^2 発展方程式 (DGLAP equation)

$$\frac{dq(x, Q^2)}{d \ln Q^2} = \alpha_s \int_x^1 \frac{dy}{y} \left[P_{qq} \left(\frac{x}{y} \right) q(y, Q^2) + P_{qG} \left(\frac{x}{y} \right) G(y, Q^2) \right]$$
$$\frac{dG(x, Q^2)}{d \ln Q^2} = \alpha_s \int_x^1 \frac{dy}{y} \left[P_{Gq} \left(\frac{x}{y} \right) q(y, Q^2) + P_{GG} \left(\frac{x}{y} \right) G(y, Q^2) \right]$$

クォーク・グルーオン演算子

$$O_n^q = \bar{\Psi} \gamma_{\mu_1} D_{\mu_2} \cdots D_{\mu_n} \Psi - \text{traces}$$

クォーク場

$$O_n^G = G_{\mu_1 \alpha} D_{\mu_2} \cdots D_{\mu_{n-1}} G_{\mu_n}^\alpha - \text{traces}$$

グルーオン場

Twist
ツイスト2
の演算子

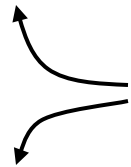
$$\text{Twist} = \text{dim} - \text{spin} = 2$$

Kodaira-TU, Nucl. Phys.

B141(1978)497

分布関数と演算子

$$\langle p | O_n^q(\mu) | p \rangle_{\mu^2=Q^2} = \int_0^1 x^{n-1} q(x, Q^2) dx$$



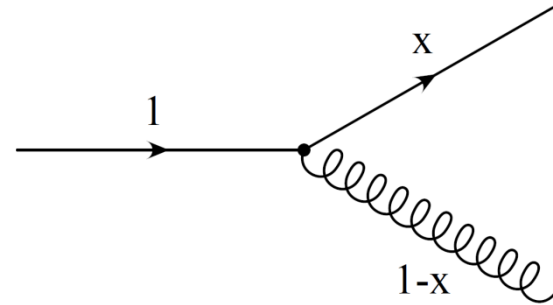
μ でくりこまれた演算子

scheme-dependence

$$\langle p | O_n^G(\mu) | p \rangle_{\mu^2=Q^2} = \int_0^1 x^{n-1} G(x, Q^2) dx$$

Splitting functions

$$P_{qq}(x) = C_F \left(\frac{1+x^2}{1-x} \right)_+$$



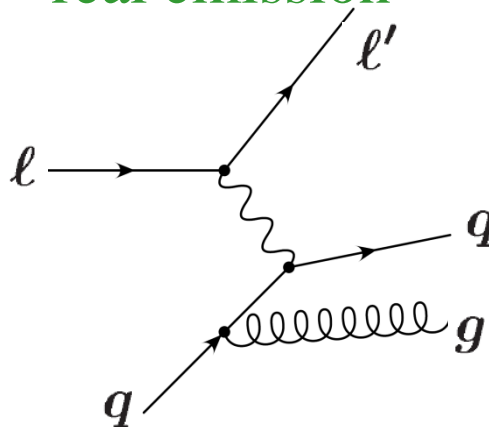
“Plus distribution”

$$\int_0^1 dx \frac{f(x)}{(1-x)_+} = \int_0^{1-\epsilon} dx \frac{f(x)}{1-x} - \int_0^{1-\epsilon} dx \frac{f(1)}{1-x}$$

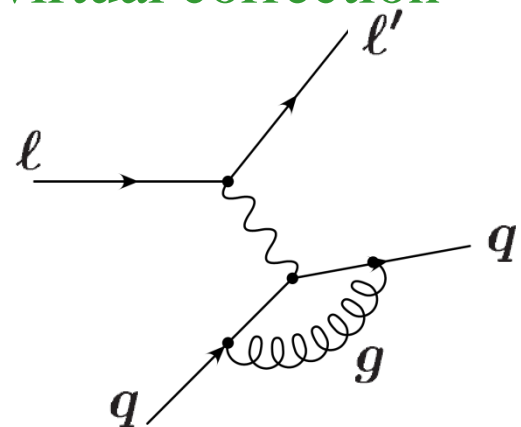
infrared cancel

Kinoshita-Lee-Nauenberg
-Nakanishi Theorem

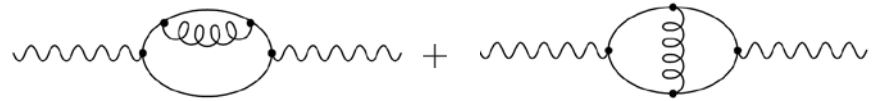
real emission



virtual correction



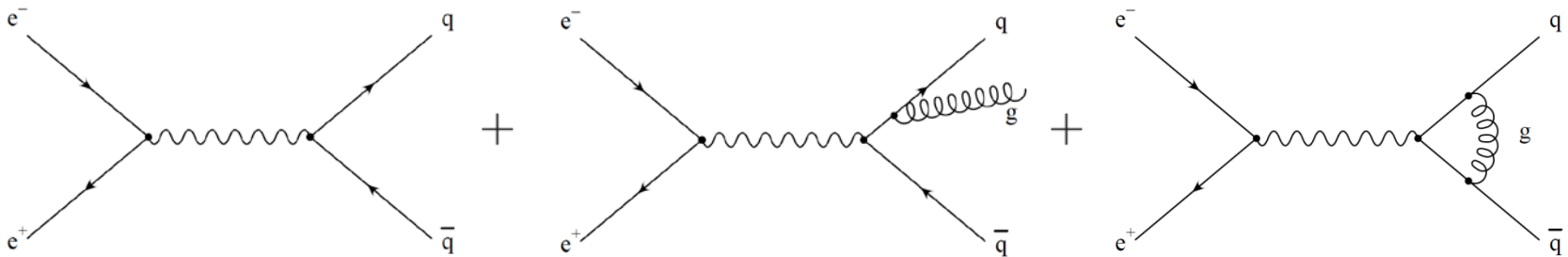
$e^+e^- \rightarrow \text{hadrons}$



$$R = \frac{\sigma(e^+e^- \rightarrow \text{hadrons})}{\sigma(e^+e^- \rightarrow \mu^+\mu^-)} = 3 \sum_{i=1}^{n_f} e_i^2 \left(1 + \frac{\alpha_s}{\pi} + \dots \right)$$

e^+e^- jet production

3-jet event @ DESY 1979



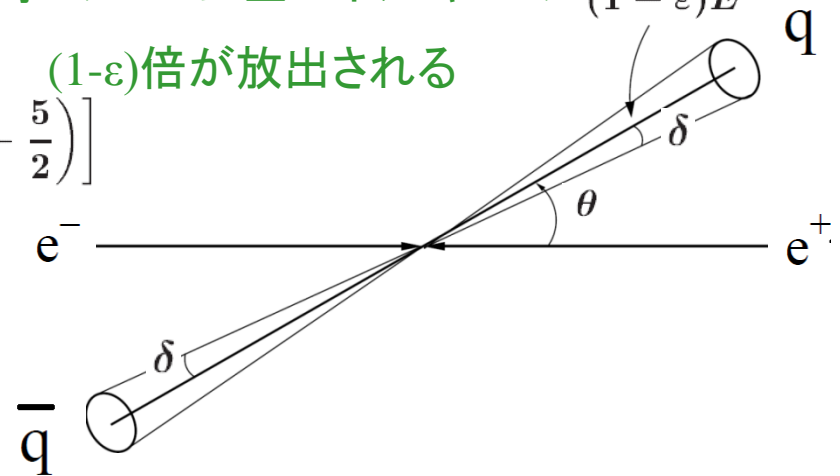
Sterman-Weinberg jet

半角 δ のconeに全エネルギーの $(1-\epsilon)E$

$(1-\epsilon)$ 倍が放出される

$$\frac{d\sigma}{d\Omega} = \left(\frac{d\sigma}{d\Omega} \right)_0 \left[1 - \frac{\alpha_s}{\pi} C_F \left(4 \ln \delta \ln \epsilon + 3 \ln \delta + \frac{\pi^2}{3} - \frac{5}{2} \right) \right]$$

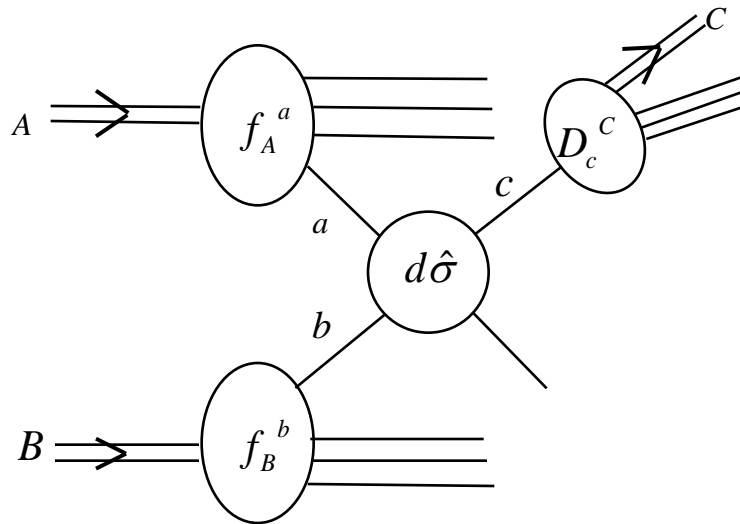
$$\left(\frac{d\sigma}{d\Omega} \right)_0 = \frac{\alpha^2}{4s} \sum_i e_i^2 (1 + \cos \theta)$$



infrared/collinear-safe quantity

Event shapes: Thrust etc.

Factorization in hadron collisions



high-energy QCD process:

$$A + B \rightarrow C + X$$

$$\frac{Q^2}{4} \leq \mu_R^2, \mu_F^2, \mu_D^2 \leq 4Q^2$$

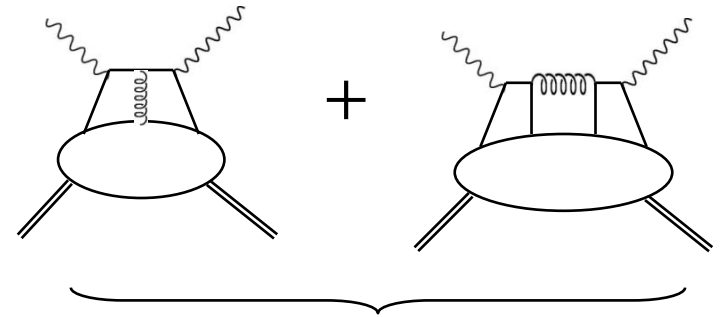
$$d\sigma = \int dx_a dx_b dz_c f_A^a(x_a, \mu_F) \otimes f_B^b(x_b, \mu_F)$$

$$\otimes \underbrace{d\hat{\sigma}(x_a, x_b, z_c, \mu_R, \mu_F, \mu_D)}_{\text{摂動計算可能}} \otimes D_c^c(z_c, \mu_D)$$

摂動計算可能

DIS, $e^+e^- \rightarrow hX$, Drell-Yan, hadron-hadron semi-inclusive ■ ■

Higher-twist effects



$$M_n(Q^2) = \int_0^1 dx x^{n-2} F_2(x, Q^2)$$

$$= \sum_{\tau} \frac{1}{(Q^2)^{\frac{\tau-2}{2}}} A_n^{(\tau)} = \underbrace{A_n^{(2)}}_{\text{twist-2}} + \underbrace{\frac{A_n^{(4)}}{Q^2}}_{\text{twist-4}} + \underbrace{\frac{A_n^{(6)}}{Q^4}}_{\text{twist-6}} + \dots$$

Twist-3 or 4

τ twist=dim-spin

- Twist-4 4-quark 2-quark&1gluon operators
- Anomalous dimensions of 4-quark operators

Gottlieb(78), Okawa(80)

- Polarized structure fn. twist-3 contributes to g_2
Kodaira-Tanaka-TU-Yasui (96)
- twist-4 effects to g_1

Kawamura et al (97)

3. 摂動QCDの高次効果

Moment of structure fn.

$$M_n(Q^2) \sim (\ln Q^2 / \Lambda^2)^{-\gamma_n^0 / 2\beta_0} (1 + C_n^1 \alpha_s + C_n^2 \alpha_s^2 + \dots)$$

LO NLO NNLO

$$\gamma_n(g) = \underbrace{\gamma_n^0}_{1\text{-loop}} \alpha_s + \underbrace{\gamma_n^1}_{2\text{-loop}} \alpha_s^2 + \dots \quad \gamma_n^0 = \int_0^1 dx x^{n-1} P^0(x)$$

1-loop anomalous dim.

Floratos et al (78)

coefficient fn.

$$\left(\mu \frac{\partial}{\partial \mu} + \beta(g) \frac{\partial}{\partial g} - \gamma_n(g) \right) C_n\left(\frac{Q^2}{\mu^2}, g\right) = 0 \quad \text{RG eq.}$$

$$C_n(1, g) = 1 + \underbrace{B_n^1}_{1\text{-loop}} \alpha_s + \dots \quad C_n^1 = B_n^1 + \gamma_n^1 / 2\beta_0$$

1-loop Bardeen et al (78) **Scheme independent**

anomalous dim. coefficient fn.

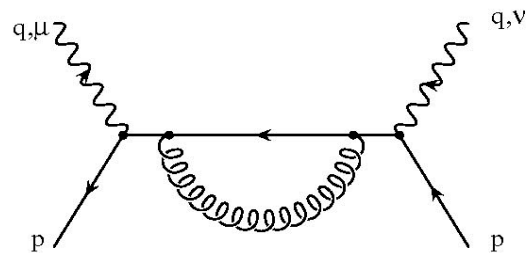
LO 1-loop tree

NLO 2-loop 1-loop

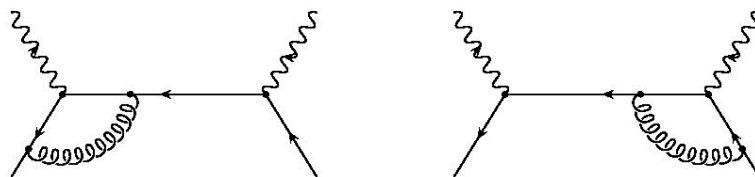
NNLO 3-loop 2-loop

Moch et al (04)

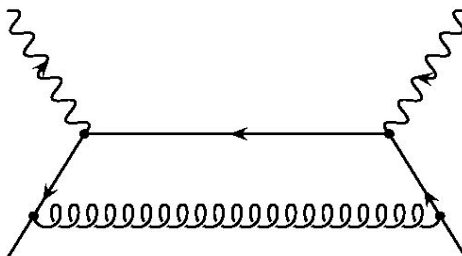
Virtual Compton
Scattering off
quark to α_s



(a)



(b)



(c)

QCDの高次補正 α_s 1次のオーダー

QCD高次効果

物理量

$$M(Q^2) \sim M_0 (\ln Q^2/\Lambda^2)^{-\gamma} (1 + C_1\alpha_s + C_2\alpha_s^2 + \dots)$$

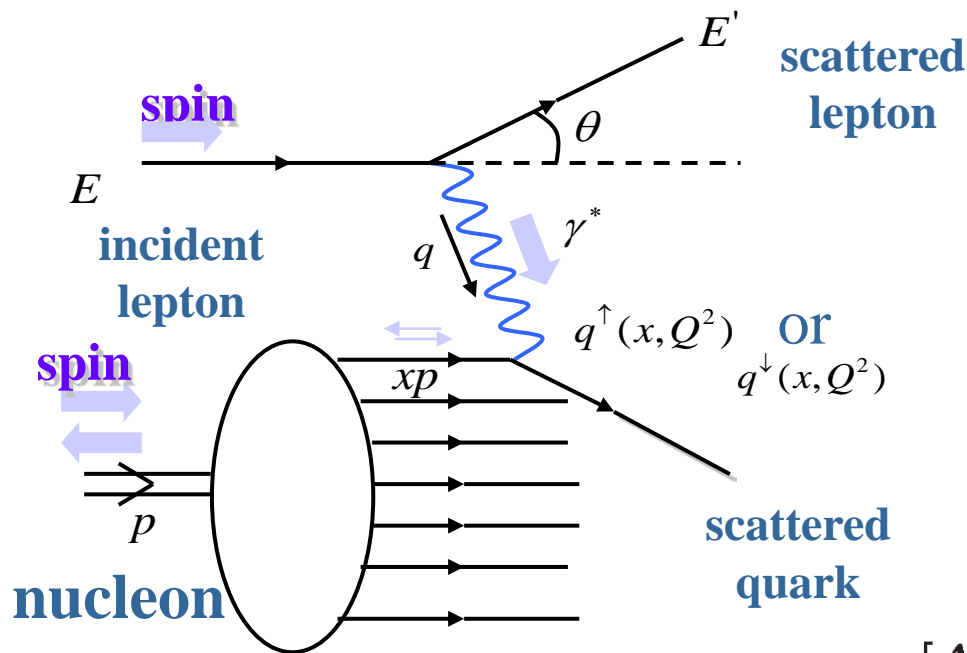
Anomalous dim. ↑ ↑
Leading-log Next-Leading-log

Bjorken和則に対する高次効果

$$\int_0^1 dx [g_1^p(x) - g_1^n(x)] = \frac{1}{6} g_A \left(1 - \frac{\alpha_s}{\pi} + O(\alpha_s^2)\right)$$

Kodaira et al. 1979

偏極深非弾性散乱と構造関数



$$x = \frac{Q^2}{2p \cdot q} \quad q^2 = -Q^2$$

Structure tensor

$$W_{\mu\nu} = W_{\mu\nu}^{[S]} + iW_{\mu\nu}^{[A]}$$

$$W_{\mu\nu}^{[S]} \Rightarrow F_1(x, Q^2), \quad F_2(x, Q^2)$$

Unpolarized structure fns.

$$W_{\mu\nu}^{[A]} \Rightarrow g_1(x, Q^2), \quad g_2(x, Q^2)$$

$$\left(\frac{d^2\sigma}{d\Omega dE'} \right)^{\downarrow\uparrow} - \left(\frac{d^2\sigma}{d\Omega dE'} \right)^{\uparrow\uparrow} \propto L_{[A]}^{\mu\nu} W_{\mu\nu}^{[A]} \quad \text{polarized structure fns.}$$

$$= \frac{\alpha^2}{E^2 \sin^2(\theta/2)} \left[(E + E' \cos \theta) \frac{1}{p \cdot q} g_1(x, Q^2) - \frac{Q^2}{(p \cdot q)^2} M g_2(x, Q^2) \right]$$

クォークが担う核子のスピンの割合

1988年 欧州共同原子核研究所(CERN) EMCグループ

$$S_q = \frac{1}{2}(\Delta u + \Delta d + \Delta s) = \frac{1}{2}\Delta\Sigma$$

$$\Delta\Sigma = 0.12 \pm 0.17$$



クォークは核子スピンの12%しか担っていない→ “Spin Crisis”

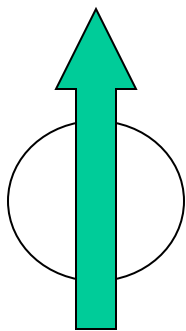
QCDの補正を入れて SLAC, DESYのデータを解析したところ

$$\Delta\Sigma = 0.19 \sim 0.23$$

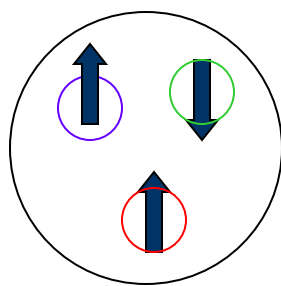
単純なクォーク模型の $\Delta\Sigma=1$ から大きくずれる

核子のスピンの分布

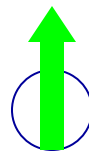
$$J = \frac{1}{2}$$



≈



+



+

軌道角
運動量

proton

quark

gluon

$$\frac{1}{2} = \langle S_z \rangle + \langle S_G \rangle + \langle L_z \rangle$$

$\hookrightarrow \frac{1}{2} \Delta\Sigma \quad \Delta\Sigma \approx 0.12$

$$\int d^4x e^{iqx} \langle p | J_\mu(x) J_\nu(0) | p \rangle^{[A]} \sim \varepsilon_{\mu\nu\lambda\sigma} q^\lambda \langle p | A^\sigma | p \rangle (1 - \alpha_s/\pi) + \dots$$

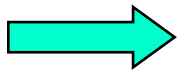
$$\Delta\Sigma \approx 0.1 - 0.3 \quad \langle p, s | \bar{\psi} \gamma_\mu \gamma_5 \psi | p, s \rangle = s_\mu \Delta\Sigma$$

But this is relativistic quantities !

Altarelli-Ross Phys. Lett B212 (1988) 391

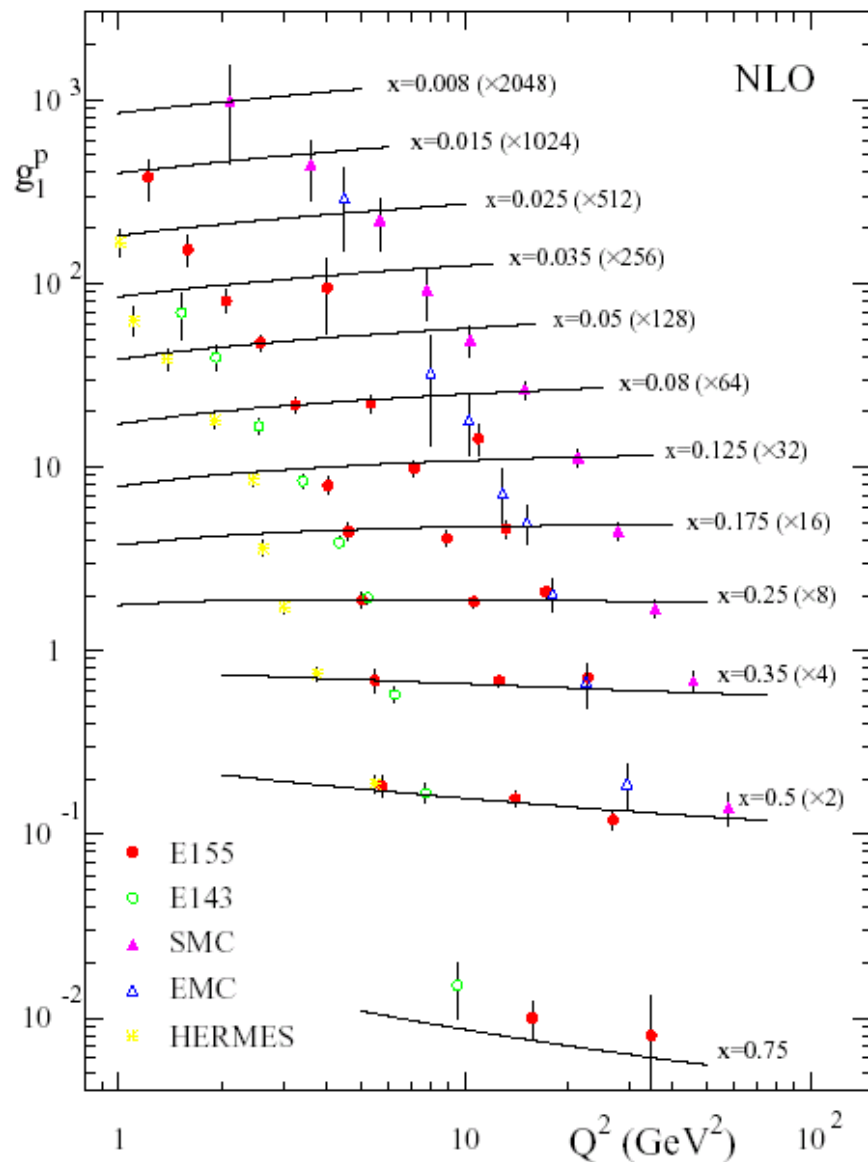
Gluon polarization contributes due to anomaly

$$\Delta\Sigma = \Delta\tilde{\Sigma} - n_f \frac{\alpha_s}{2\pi} \Delta\tilde{G}$$



Parton distribution functions are
scheme-dependent

J. Kodaira and T. U. Nucl. Phys. B141 (1978) 497



偏極構造関数 g_1 の Q^2 発展

1st moment sum rule

$$g_1(x, Q^2)$$

$\mathcal{O}(\alpha_s)$ QCD correction to the Bjorken sum rule:

$$\int_0^1 dx [g_1^p(x, Q^2) - g_1^n(x, Q^2)] = \frac{1}{6} g_A \left(1 - \frac{\alpha_s}{\pi}\right)$$

Kyoto Group Kodaira et al. 1979 flavor non-singlet

Phys.Rev.D20 (1979) 627; Nucl.Phys. B159 (1979) 99

Now $\mathcal{O}(\alpha_s^3)$ Larin-Vermaseren (1991)

flavor singlet



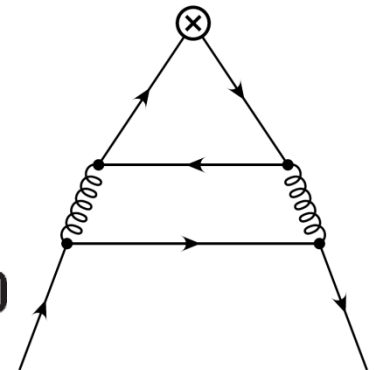
Axial anomaly

Kodaira

Nucl.Phys. B165 (1980)129

$$\gamma_1^{n=1} = 16n_f \neq 0$$

$$\int_0^1 dx g_1^S(x, Q^2) = \frac{1}{2} a_1^S \left[1 - \frac{33 - 8n_f}{33 - 2n_f} \frac{\alpha_s}{\pi} \right]$$



$\mathcal{O}(\alpha_s)$

QCD correction

光子構造関数をめぐって

$$x = \frac{Q^2}{2p \cdot q} \quad : \text{ Bjorken variable}$$

$$Q^2 = -q^2 > 0 \quad : \text{ Mass squared of probe photon}$$

$$P^2 = -p^2 > 0 \quad : \text{ Mass squared of target photon}$$

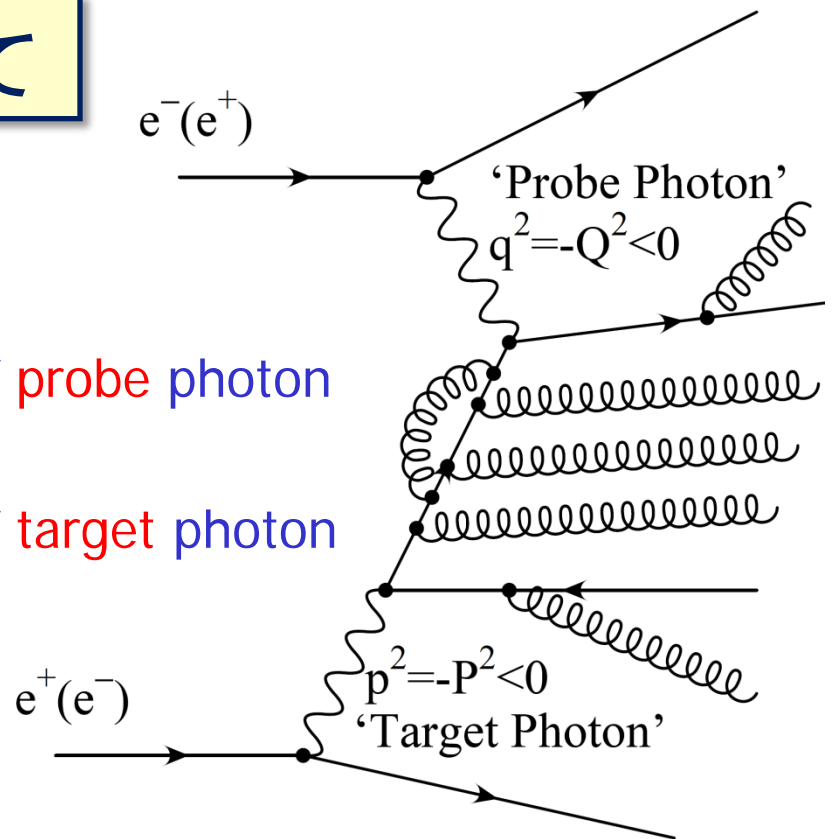
In the kinematic region:

$$\Lambda^2 \ll P^2 \ll Q^2$$

structure fns. F_2^γ and F_L^γ

g_1^γ and g_2^γ

perturbatively calculable !



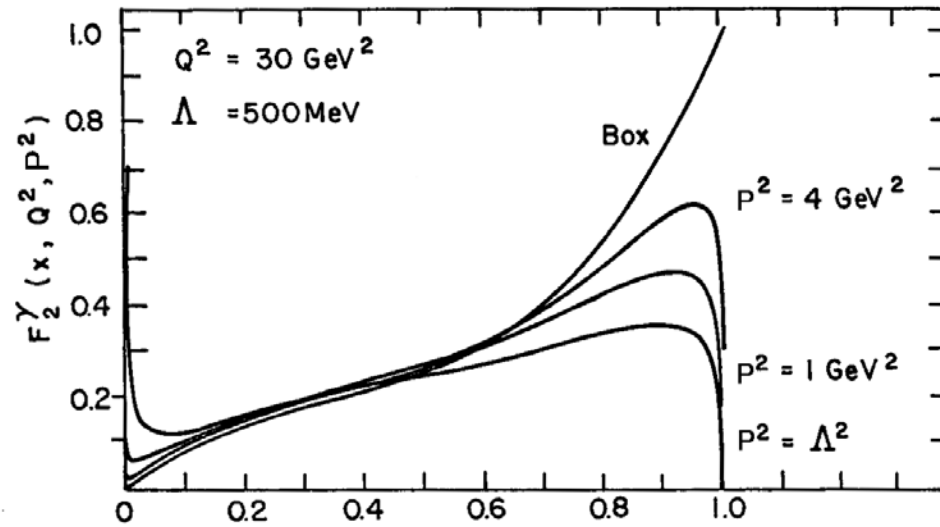
e^+e^- collision
& QCD interactions

何故photon structure fn.に興味があるか？

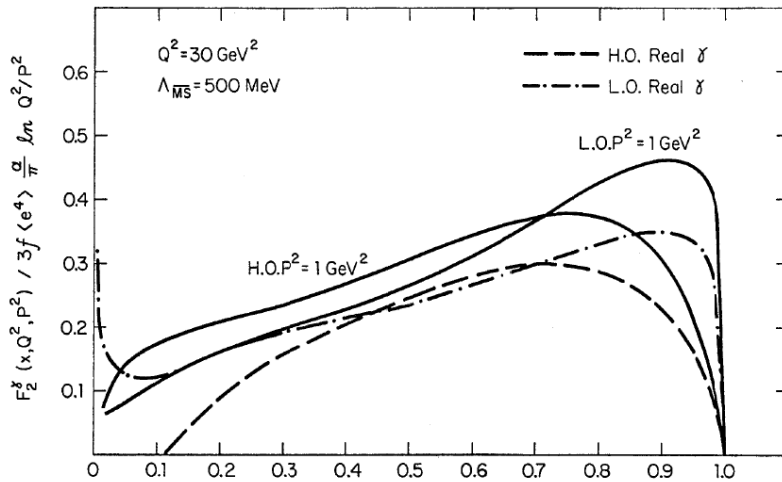
- perturbation theoryでQCDのdynamicsを調べる
良い probe を提供する
- 将来の電子・陽電子のLinear Collider (ILC)では
2-光子過程の新たなkinematical領域が探索可能
- 3-loop Splitting function の登場によって NNLO
QCDオーダーのphoton structureが計算される
- Polarized Structure -> 軸性異常(axial anomaly)

LO

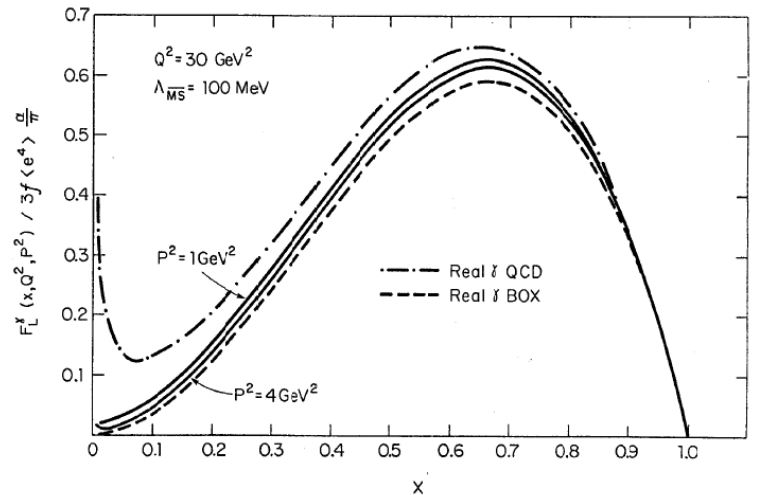
NLO



x Walsh-TU (LO QCD 1981)



$F_2^\gamma(x, Q^2, P^2)$

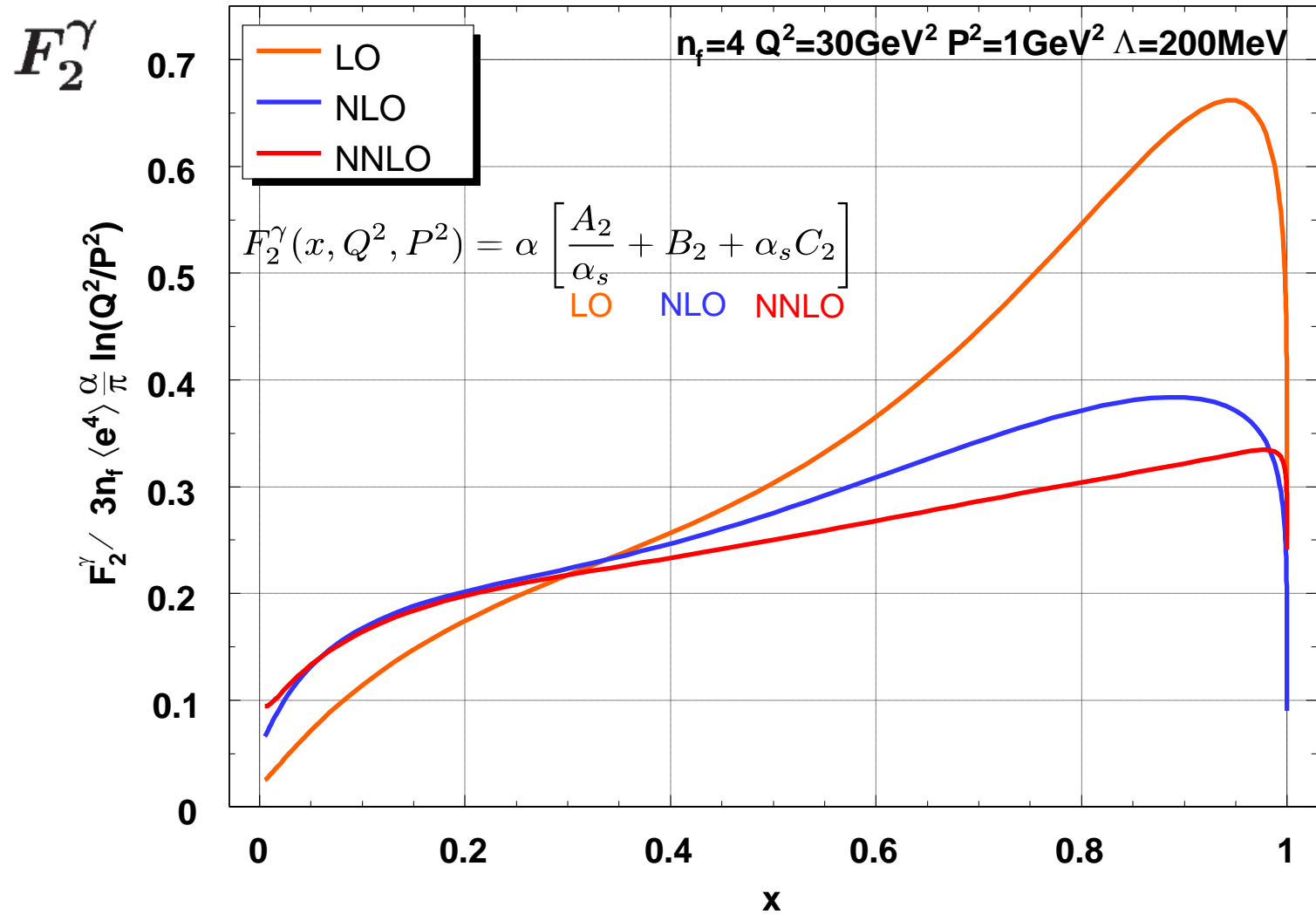


$F_L^\gamma(x, Q^2, P^2)$

Walsh-TU, NPB199(1982)93

NNLO Analysis

K. Sasaki, T. Ueda and T.U.,
Phys. Rev.D75 (2007) 114009



偏極光子構造関数

Structure tensor $W_{\mu\nu\rho\tau}$

$$W_{\mu\nu\rho\tau} = W_{\mu\nu\rho\tau}^S + iW_{\mu\nu\rho\tau}^A$$

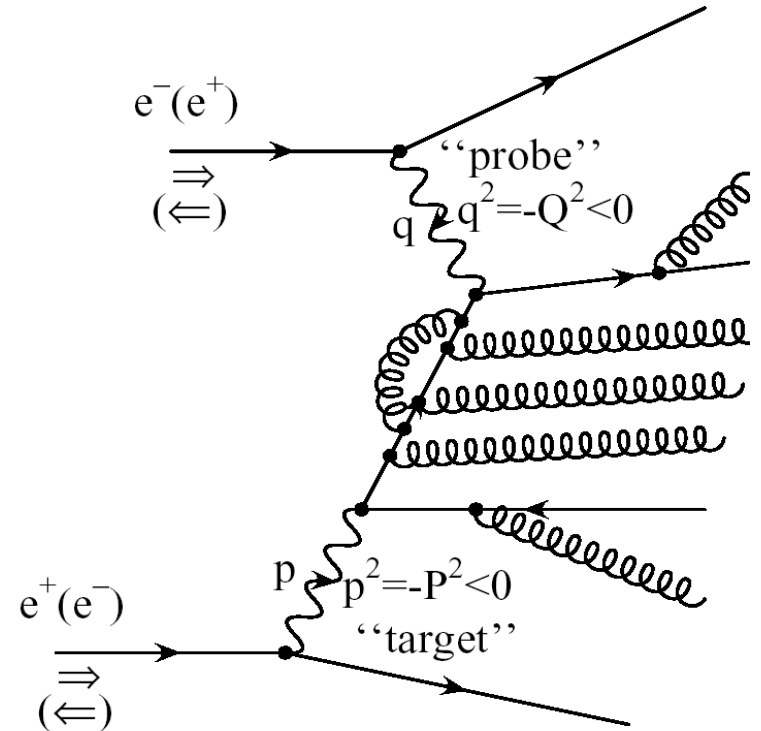
Anti-symmetric part

$$W_{\mu\nu\rho\tau}^A = \epsilon_{\mu\nu\lambda\sigma} q^\lambda \epsilon_{\rho\tau}^{\sigma\beta} p_\beta \frac{1}{p \cdot q} g_1^\gamma$$

$$+ \epsilon_{\mu\nu\lambda\sigma} q^\lambda (p \cdot q \epsilon_{\rho\tau}^{\sigma\beta} p_\beta - \epsilon_{\rho\tau\alpha\beta} p^\beta p^\sigma q^\alpha) \frac{1}{(p \cdot q)^2} g_2^\gamma$$

→ g_1^γ and g_2^γ

Polarized photon structure functions



g_1^γ \Rightarrow the 1st moment is related to the **axial anomaly**

g_2^γ \Rightarrow only exists for the virtual photon $P^2 \neq 0$
(No g_2^γ for real photon $P^2 = 0$)

the **twist-3 effect** contributes

- Evaluation of QCD corrections to the 1st moment sum rule to NNLO $O(\alpha\alpha_s^2)$
- Large N_c limit of g_2^γ to LO

K. Sasaki, T. Ueda and T.U., Phys. Rev.D73 (2006) 094024.

H. Baba K. Sasaki and T.U., Phys. Rev. D65 (2001)1140185.

Polarized photon structure function

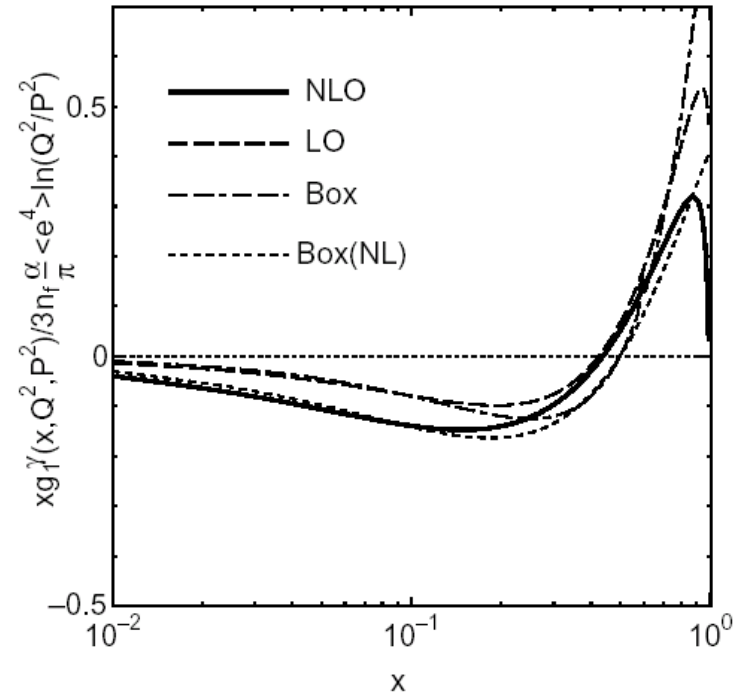
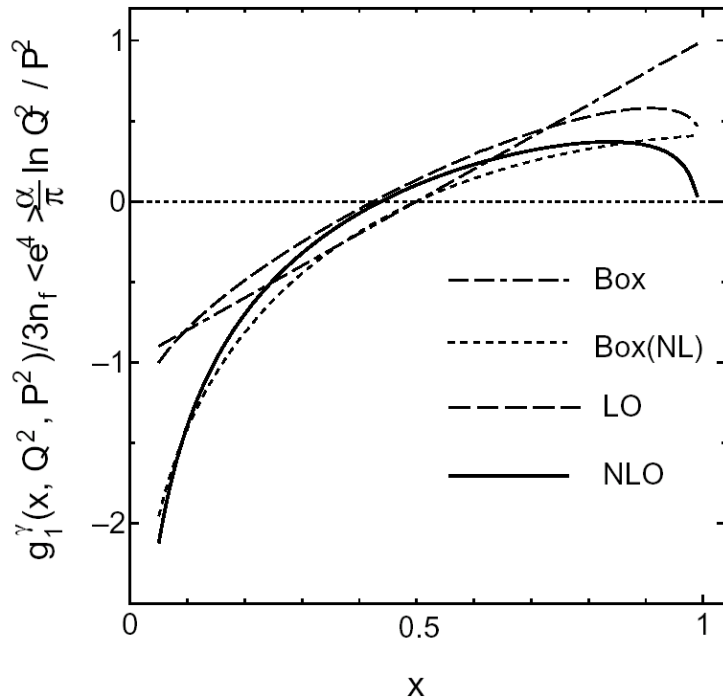
only twist-2 op. contributes

$$g_1^\gamma(x, Q^2, P^2)$$

to NLO in QCD

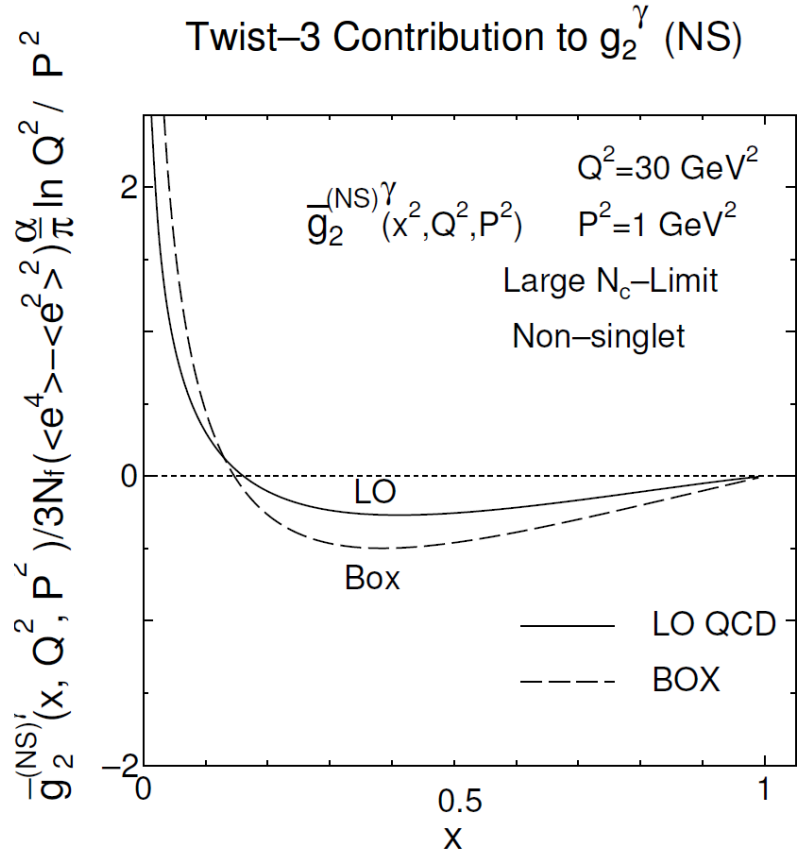
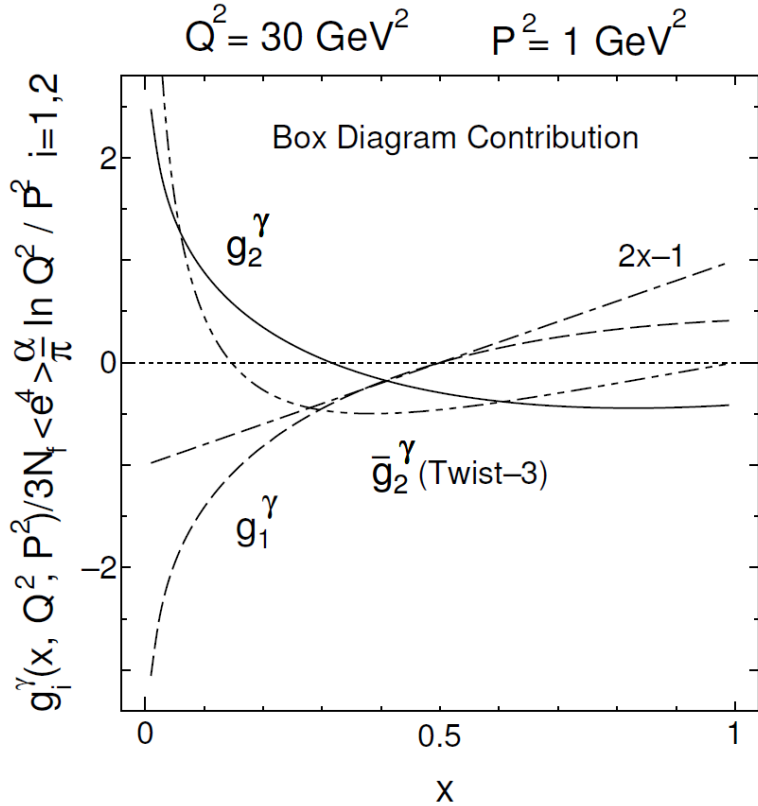
$$Q^2 = 30 \text{ GeV}^2 \\ P^2 = 1 \text{ GeV}^2 \quad g_1^\gamma(x, Q^2, P^2)$$

$$Q^2 = 30 \text{ GeV}^2 \\ P^2 = 1 \text{ GeV}^2 \quad x g_1^\gamma(x, Q^2, P^2)$$



$$\int_0^1 dx x^{n-1} \bar{g}_2^{\gamma(NS)}(x, Q^2, P^2) = \frac{n-1}{n} \frac{\alpha}{4\pi} \cdot \frac{1}{2\beta_0} (-24N_f) (\langle e^4 \rangle - \langle e^2 \rangle^2) \frac{1}{n(n+1)}$$

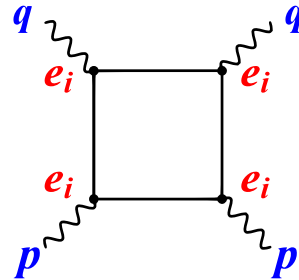
In the Large Nc limit $\times \frac{1}{1 + \lambda_{NS}^n / 2\beta_0} \frac{4\pi}{\alpha_s(Q^2)} \left\{ 1 - \left(\frac{\alpha_s(Q^2)}{\alpha_s(P^2)} \right)^{\lambda_{NS}^n / 2\beta_0 + 1} \right\}$



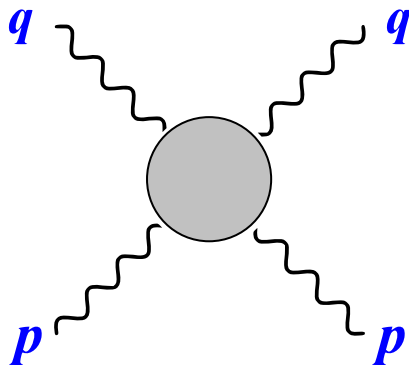
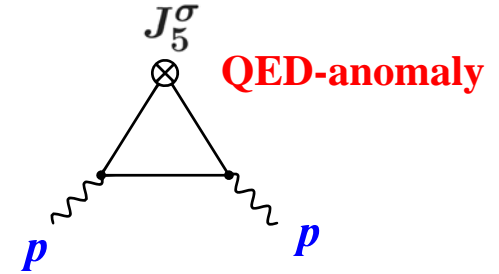
The 1st moment of g_1^γ is related to **triangle anomaly** in OPE

axial-vector current J_5^σ

$$\sum_i^{n_f} e_i^4 \quad \vdots$$

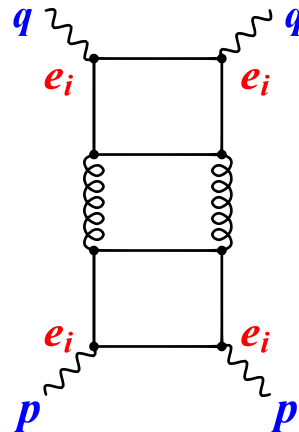


OPE

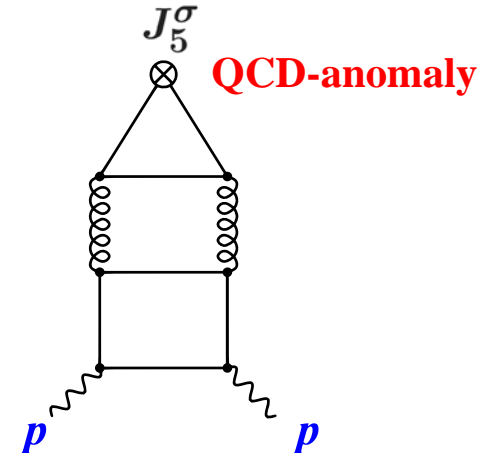


(Box diagram)

$$\left(\sum_i^{n_f} e_i^2 \right)^2 \quad \vdots$$



OPE



For the **virtual** photon target ($P^2 \neq 0$)

In far off-shell case $\Lambda^2 \ll P^2 \ll Q^2$, perturbatively calculable

NLO result is (no experimental input)

Λ : QCD scale parameter

$$\int_0^1 dx g_1^\gamma(x, Q^2, P^2) \quad n_f : \# \text{ of flavor} \quad e_i : \text{quark charge}$$

$$= -\frac{3\alpha}{\pi} \left[\underbrace{\sum_{i=1}^{n_f} e_i^4}_{\text{LO}} \left(1 - \underbrace{\frac{\alpha_s(Q^2)}{\pi}}_{\text{NLO}} \right) - \frac{2}{\beta_0} \left(\sum_{i=1}^{n_f} e_i^2 \right)^2 \left(\frac{\alpha_s(P^2)}{\pi} - \frac{\alpha_s(Q^2)}{\pi} \right) \right] + \mathcal{O}(\alpha\alpha_s^2)$$

LO
NLO

Narison-Shore-Veneziano (1993)

Now we extend this result to NNLO!

Sasaki-Uematsu (1999) Shore (2005)

1st moment sum rule to NNLO

$$\begin{aligned}
 \int_0^1 dx g_1^\gamma(x, Q^2, P^2) & \quad \text{LO} \quad \text{NLO} \quad \text{NNLO} \\
 &= -\frac{3\alpha}{\pi} \left\{ \left(\sum_{i=1}^{n_f} e_i^4 \right) \left[\underbrace{1}_{\text{LO}} - \underbrace{\frac{\alpha_s(Q^2)}{\pi}}_{\text{NLO}} - \underbrace{\left(\frac{55}{12} - \frac{1}{3}n_f \right) \frac{\alpha_s^2(Q^2)}{\pi^2}}_{\text{NNLO}} \right] \right. \\
 &+ \left(\sum_{i=1}^{n_f} e_i^2 \right)^2 \left[\underbrace{-\frac{2}{\beta_0}}_{\text{NLO}} \left(\underbrace{1}_{\text{LO}} - \underbrace{\frac{\alpha_s(Q^2)}{\pi}}_{\text{NLO}} \right) \left(\underbrace{\frac{\alpha_s(P^2)}{\pi}}_{\text{NLO}} - \underbrace{\frac{\alpha_s(Q^2)}{\pi}}_{\text{NLO}} \right) \right. \\
 &+ \underbrace{\frac{2n_f}{\beta_0^2} \left(\frac{\alpha_s(P^2)}{\pi} - \frac{\alpha_s(Q^2)}{\pi} \right)^2}_{\text{NNLO}} \\
 &+ \underbrace{\frac{1}{4\beta_0} \left(\frac{\beta_1}{\beta_0} - \frac{59}{3} + \frac{2}{9}n_f \right)}_{\text{NNLO}} \left(\underbrace{\frac{\alpha_s^2(P^2)}{\pi^2}}_{\text{NNLO}} - \underbrace{\frac{\alpha_s^2(Q^2)}{\pi^2}}_{\text{NNLO}} \right) \\
 &\left. - \underbrace{\left(\frac{53}{36} - \frac{2}{3}\zeta_3 \right) \frac{\alpha_s^2(P^2)}{\pi^2}}_{\text{NNLO}} + \underbrace{\left(\frac{1}{36} + \frac{2}{3}\zeta_3 \right) \frac{\alpha_s^2(Q^2)}{\pi^2}}_{\text{NNLO}} \right] \left. \right\}
 \end{aligned}$$

1990年代－現在

Precision of QCD: LO→NLO→NNLO

検証から精密化へ

- QCDの量子補正をNNLOの精度に高める

Splitting functions

$$P_{ij}(x, \alpha_s)$$

of diagrams

$$P_{ij}(x, \alpha_s) = \underbrace{P_{ij}^{(0)}(x)}_{\text{LO}} + \underbrace{\alpha_s P_{ij}^{(1)}(x)}_{\text{NLO}} + \underbrace{\alpha_s^2 P_{ij}^{(2)}(x)}_{\text{NNLO}} + \dots$$

1-loop

2-loop

3-loop

NLO

NNLO

18

350

9607

Gross-Wilczek, Politzer(1974)

Floratos-Ross-Sachrajda(1978)

Moch-Vermaseren-Vogt (2004)

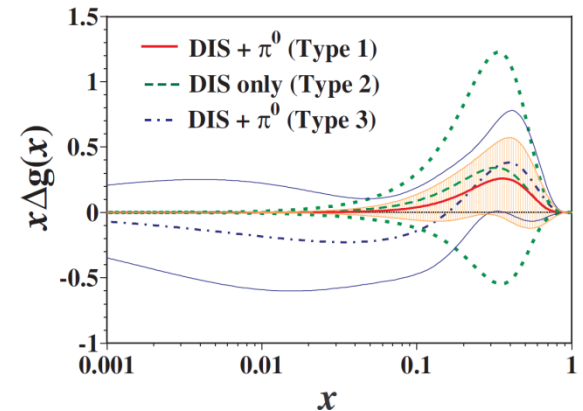
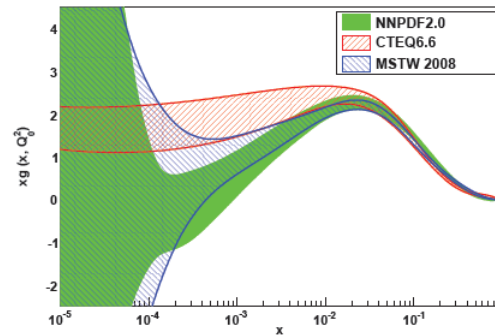
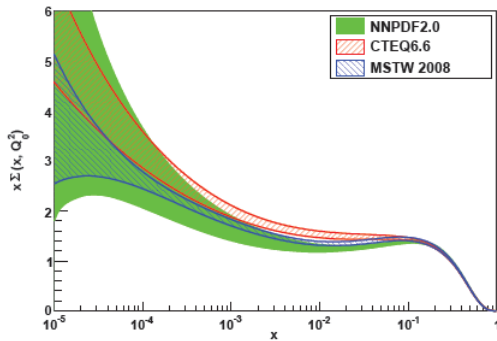
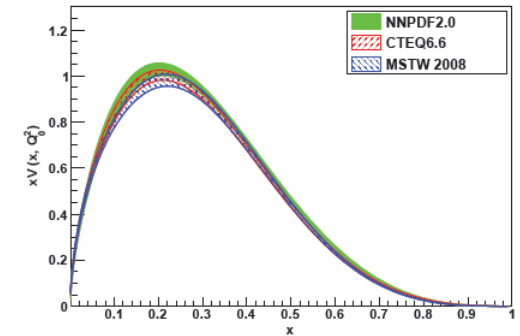
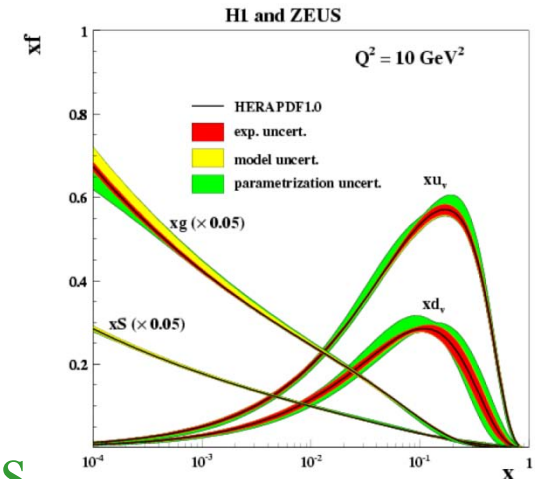
Coefficient functions

$$C_n(\alpha_s) = \underbrace{C_n^{(0)}}_{\text{tree}} + \underbrace{\alpha_s C_n^{(1)}}_{\text{1-loop}} + \underbrace{\alpha_s^2 C_n^{(2)}}_{\text{2-loop}} + \dots$$

Global PDF Analysis

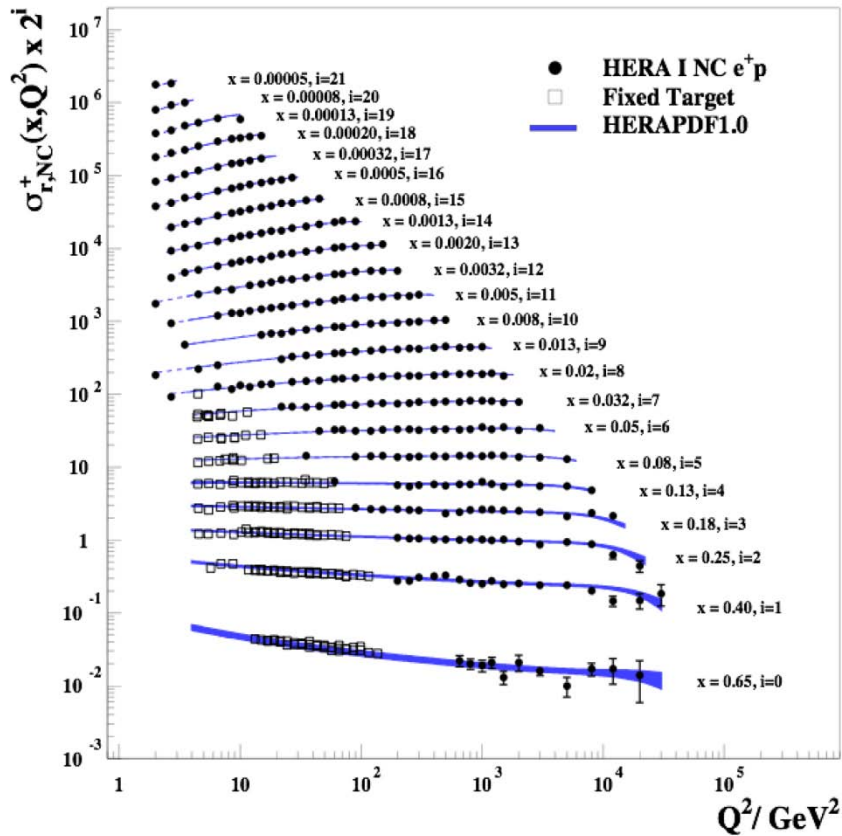
Collaborations

- MSTW (MRST) LO NLO NNLO
- CTEQ LO NLO Tevatron jet analysis
- NNPDF NLO Neural networks
- ABKM NNLO heavy quark effects
- GRV, AAC NLO polarized PDFs

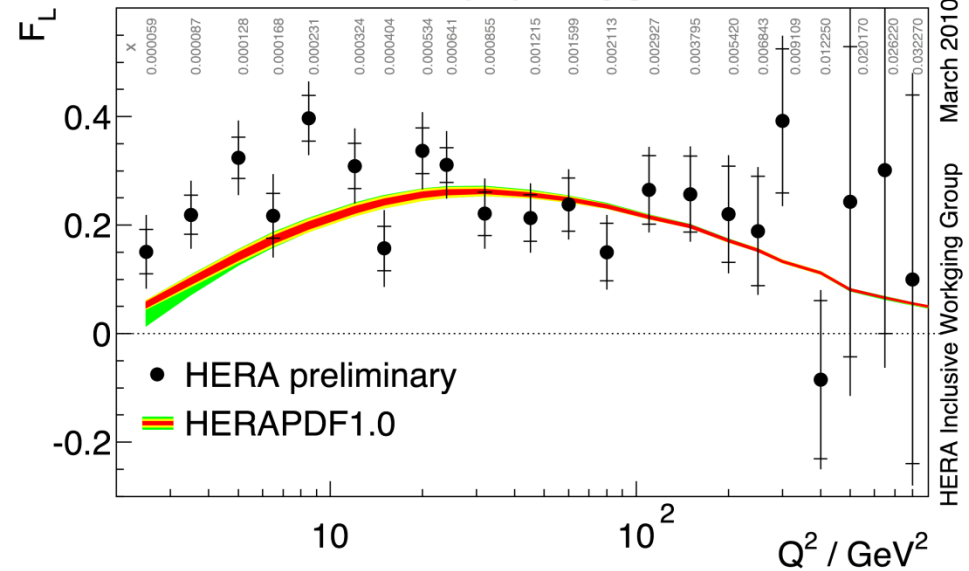


QCD and HERA data

H1 and ZEUS



H1 and ZEUS



重クォーク質量効果

Y. Kitadono, K. Sasaki, T. Ueda and TU,
 Prog. Theor. Phys. 121 (2009)054019;
 Phys.Rev.D81:074029,2010;
 Eur.Phys.J.C70:999-1007,2010

$$F_2^\gamma(x, Q^2, P^2) = \vec{q}^\gamma(y, Q^2, P^2, m^2) \otimes \vec{C} \left(\frac{x}{y}, \frac{\bar{m}^2}{Q^2}, \bar{g}(Q^2) \right)$$

Photon structure function PDF

Coefficient function



mass dependence

Parton interpretation of twist-2 operators \vec{O}_n

$$\int_0^1 dx x^{n-1} \vec{q}^\gamma(x, Q^2, P^2, m^2)$$

$$= \vec{A}_n \left(1, \frac{\bar{m}^2(P^2)}{P^2}, \bar{g}(P^2) \right) T \exp \left[\int_{\bar{g}(Q^2)}^{\bar{g}(P^2)} dg \frac{\gamma_n(g, \alpha)}{\beta(g)} \right]$$

No mass dependence



where

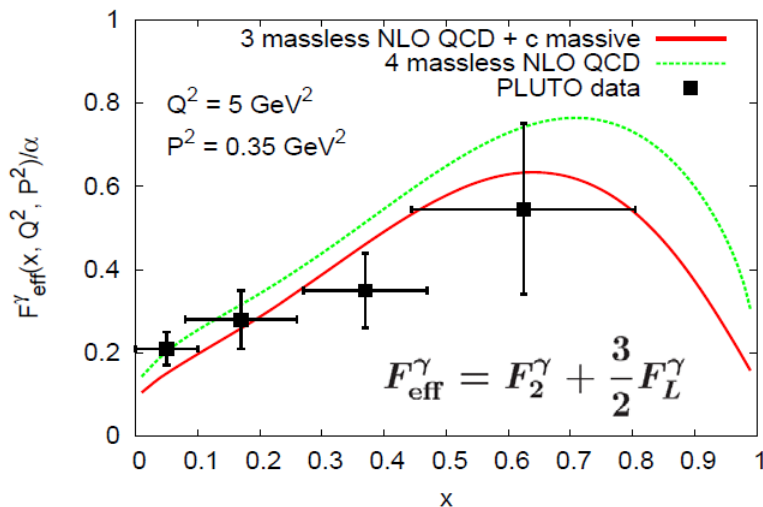
$$\langle \gamma(P^2) | \vec{O}_n(\mu^2) | \gamma(P^2) \rangle = \vec{A}_n \left(\frac{P^2}{\mu^2}, \frac{\bar{m}^2(\mu^2)}{\mu^2}, \bar{g}(\mu^2) \right)$$

Perturbatively calculable !

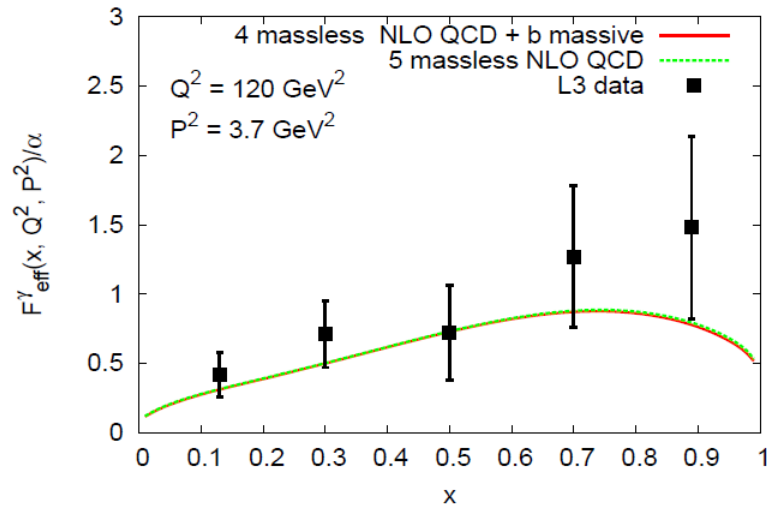


mass dependence

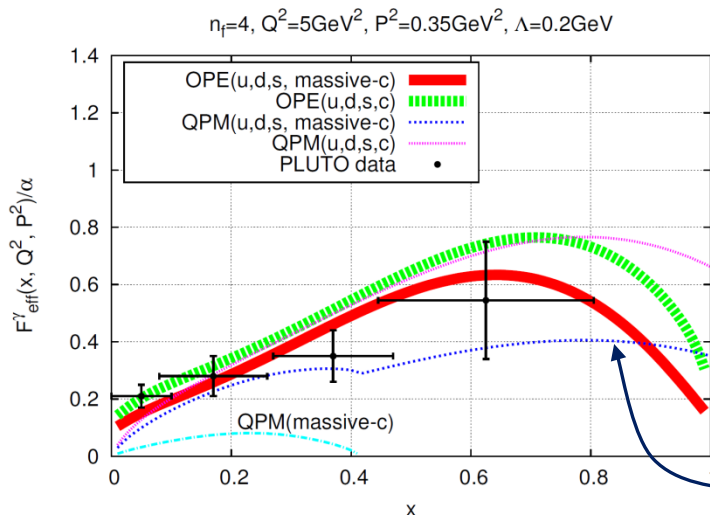
Heavy flavour effects vs. experimental data for F_{eff}^γ



QCD prediction vs. PLUTO data



QCD prediction vs. L3 data



PM Box


In the massive quark limit

$$\Lambda_{\text{QCD}}^2 \ll P^2 \ll m^2 \ll Q^2$$

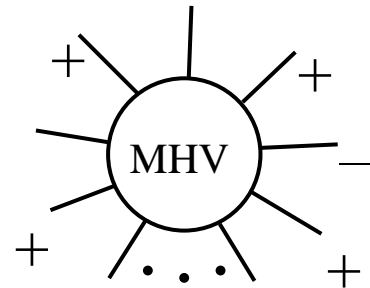
Heavy quark mass
 threshold effects
 illustrated by PM

$$x_{\text{max}} = \frac{1}{1 + \frac{4m^2}{Q^2}}$$

4. その他 -QCD and String Theory-

- AdS/CFT対応 String on $\text{AdS}_5 \times S^5 \sim \text{N}=4\text{SCFT}$
Maldacena
- 5次元AdS時空での弦のsemi-classicalな振る舞いと
boundaryの4次元Yang-Mills理論の対応関係
Polyakov et al
- AdS/CFT対応(弦/ゲージ双対性)とform factorお
よび大角度散乱と強結合領域でのDIS構造関数
Polchinski et al
- String理論でエネルギーについてベキ的振舞い
  5次元方向の寄与によるwarp factor
- AdS/QCD (Holographic QCD)
spectrum, decay width, Pomeron, BFKL anom.dim.

multi-parton amplitudes



- MHV振幅に対するParke-Taylor公式の拡張 (spinor-helicity)
- Witten Commun.Math.Phys.252(2004)189
N=4超対称理論で運動量空間からFourier変換で得たtwistor spaceにおける散乱振幅を弦理論のインスタントンの寄与に結びつけた
- Cachazo-Svrcek-Witten (CSW) JHEP09(2004)006
最大にヘリシティを破る(MHV)振幅をvertexに拡張し、一般のMHVでないhelicity振幅を計算するルールを与えた
- 任意の1-loop multi-leg amplitudes
 $A \sim (\text{Box}) + (\text{triangle}) + (\text{bubble}) + (\text{tadpole})$

LHC (Large Hadron Collider)

スイス・ジュネーブ郊外 CERN

周囲27km 地下100mのトンネル

陽子・陽子衝突型加速器 約5000億円

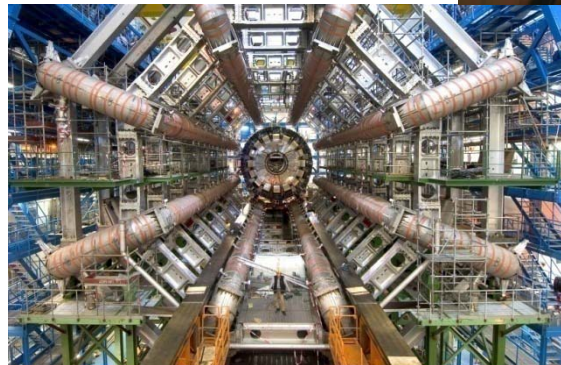
8.3Tの超伝導磁石 1232本

加速エネルギー

7TeV+7TeV=14TeV

1TeV=1兆電子ボルト

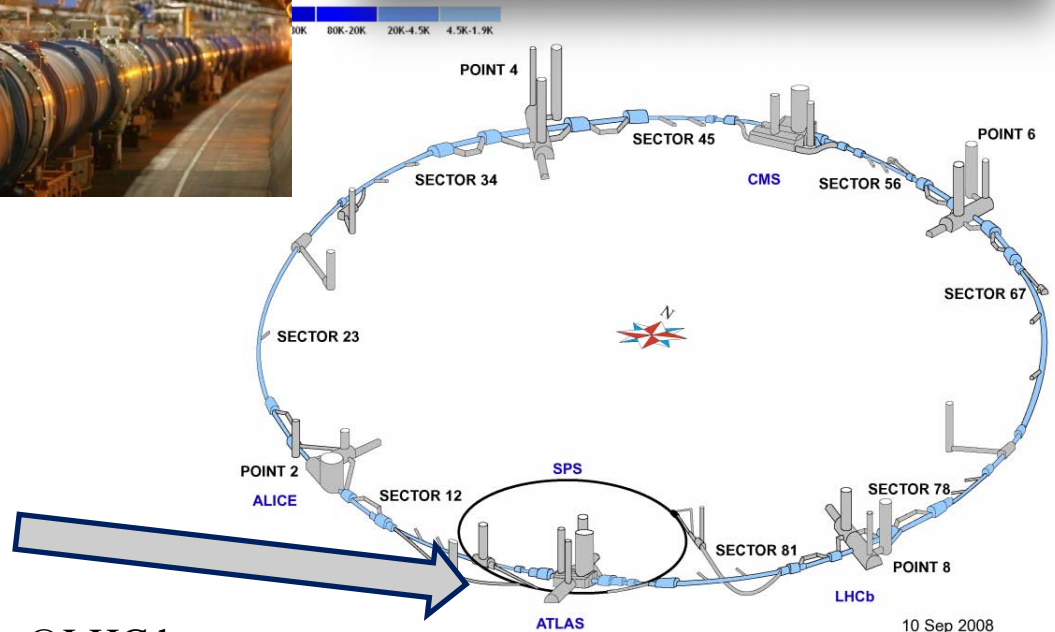
ルミノシティ $10^{34} \text{ cm}^{-2}\text{s}^{-1}$



ATLAS測定器

アルプス

レマン湖



@LHC home page

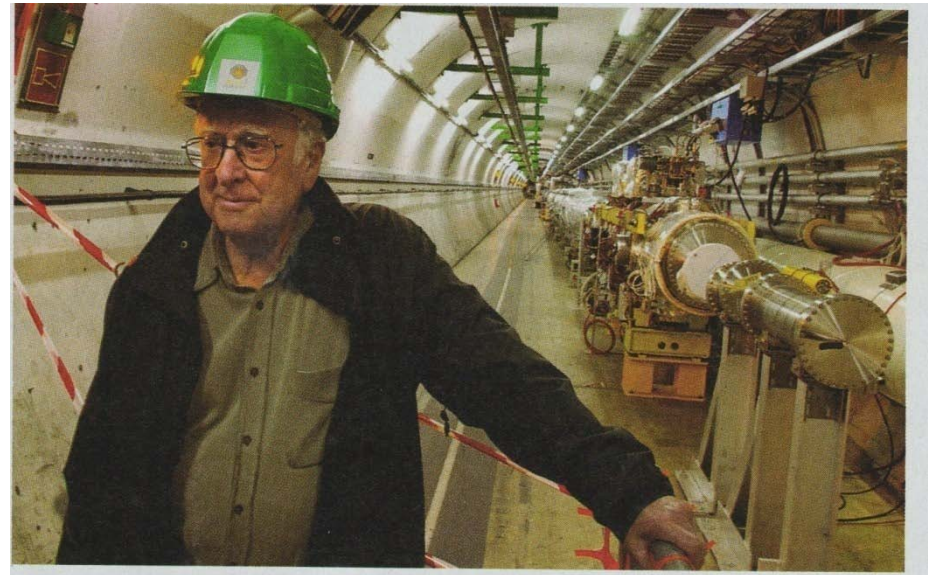
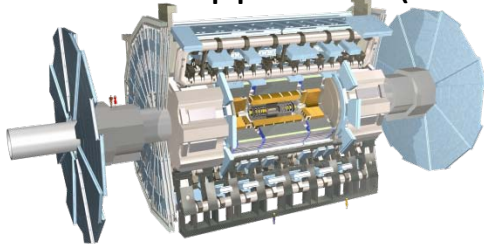


ヒューキング博士

2008年9月10日 に稼働始める
450GeVビーム初周回成功
9月19日、ヘリウム漏れ事故
2009年11月復旧
2010年3月より3.5TeV+3.5TeV開始

ヒッグスが見つからない方に100ドル
賭ける —BBCでのラジオ番組より—

A Toroidal LHC Apparatus (ATLAS)



ATLASグループ 37 国
167 研究機関
2200 人 科学者

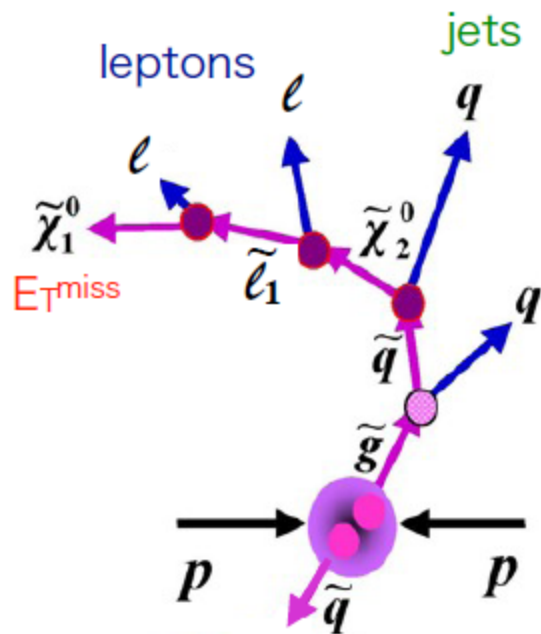
ATLAS 日本
15 研究機関
92 人 科学者

LHCとヒッグス博士

TIME紙より

LHCで超対称性は如何にして発見されるか

Missing ET



クォーク・グルーイノ対生成

より軽い超対称粒子への崩壊

安定なLSPへ (Rパリティ保存)

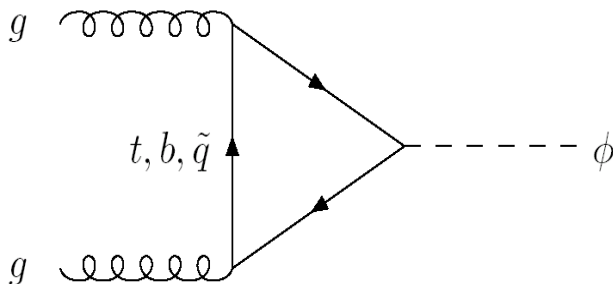
Multi-jets + E_T^{miss} + X トポロジー

QCD @ LHC era

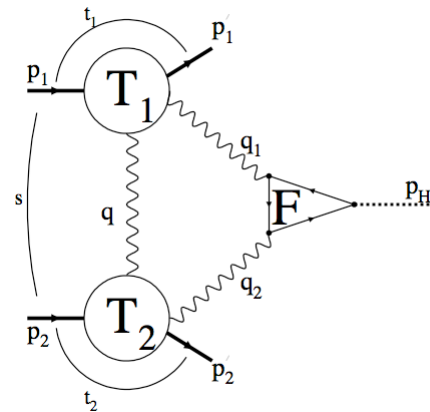
RHICからLHCへ

- CMS@7TeV pp collision \sim RHIC heavy ion collision
Ridge structure \longrightarrow pseud-rapidity (η) correlation
- ALICE heavy ion collision high multiplicities
- ATLAS & CMS ジェット抑制 (Jet quenching)

Higgs production



gluon fusion



Diffractive production of Higgs

5.まとめと今後の課題

- QCDは30有余年を経て確立 検証から精密化へ
- 高エネルギー素粒子反応にとり必須の理論的枠組み
- 標準模型の確立とそれを越えたPhysicsの探索には強い相互作用 QCDの効果の精密な評価が必要
- 超対称粒子生成に対するQCDおよび超対称QCDの解析に摂動論的手法が有効か
- 超弦理論、AdS/CFT等の理論からのアイデアの創出

More efforts needed!